

STIRLING HŰTŐGÉP NUMERIKUS ANALÍZISE

NUMERICAL ANALYSIS OF STIRLING REFRIGERATOR

Handki Andrea¹, dr. Tolvaj Béla²

ABSTRACT

In this paper a method is presented to determine the main characteristics of the thermodynamic processes in the workspace and regenerator of a Stirling machine. The gas flow is described as one-dimensional, non-isentropic, unsteady flow. The basic equations, boundary and initial conditions are presented. The equations are solved with the method of characteristics in case of the working gas, and with the explicit grid method in case of the regenerator.

1. BEVEZETÉS

A Stirling gép működésének leírása, a benne végbe-
menő folyamatok modellezése nem egyszerű feladat. A
most bemutatott módszer a hengerekben és a regenerá-
torban lejátszódó termodinamikai folyamatokat egydi-
menziós, instacionárius, nem izentrópius gázáramlás-
ként modellezi. A modellezéskor feltételezzük, hogy az
állapotjelzők a munkaterek középvonalához rendelt x
helykoordináta és a t idő függvényei. Bemutatjuk a
mozgás-, a kontinuitási- és az energiaegyenletről álló
parciális differenciálegyenlet rendszer egyenleteinek
előállítását. Ismertetjük az egyenletrendszer megoldási
módszerét, mely a karakterisztikák módszerén és az
explicit rácsmódszeren alapul. Bemutatjuk a megoldás-
hoz szükséges kezdő- és peremfeltételeket.

2. A SZÁMÍTÁSI MODELL

A munkagáz áramlását a Stirling hűtőgép részegysé-
giben az 1. ábrán bemutatott modell segítségével írjuk
le. A Stirling hűtőgép minden részegységében a gáz-
áramlást egydimenziós tekintettük és feltételeztük, hogy
a csőátmérő gépegységenként állandó, a munkagáz
áramlási sebessége és állapotjelzői a t idő, és a csőveze-
ték közép-vonalához rendelt x helykoordináta függvé-
nyei. A gázrészecskék között súrlódás nincs, de az
áramlást a csőfalon ébredő csúsztatófeszültség fékezi. A
munkagáz és a csőfal között hőcsere lehetséges. A Stir-
ling gép munkatere zárt, vagyis a gáztöltet tömege ál-
landó. A munkatér több részből áll, közülük a munka-
hengerek térfogata a bennük mozgó dugattyúk miatt
időben változó értékű.

A Stirling gép teljes munkatéréhez minimum három
koordináta rendszert kell rendelni. Korábbi cikkünkben

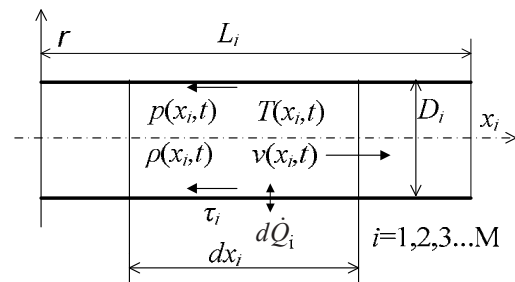
¹tudományos segédmunkatárs, Miskolci Egyetem Áramlás- és
Hőtechnikai Gépek Tanszéke

²egyetemi docens, Miskolci Egyetem Áramlás- és Hőtechnikai Gépek
tanszéke

[1,2] részletesen leírtuk a regenerátor nélküli Stirling
gép modellezését. A következőkben az ott bemutatott
módszer rövid összefoglalása után a regenerátorral ellá-
tott Stirling gép numerikus modellezésére térünk rá.

Az alkalmazott változók jelölése:

a_i	[m/s]	hangsebesség;
α_R	[W/(m ² K)]	hőátadási tényező a regenerátorban;
λ_R	[W/(mK)]	a regenerátor töltet hővezetési ténye- zője;
A_i	[m ²]	a csőkeresztmetszet;
A_R	[m ²]	a regenerátor töltet keresztmetszete;
c_R	[kJ/(kgK)]	a regenerátor fajhője;
$d\dot{Q}_i$	[W]	az elemi hőáram;
D_i	[m]	csőátmérő;
k_i	[W/(m ² K)]	hőátviteli tényező;
K_R	[m]	a gázzal érintkező pórusok összes kerülete az x tengelyre merőleges met- szetben;
L_i	[m]	csőhossz;
$p_i(x_i, t)$	[Pa]	gáznyomás;
$\rho_i(x_i, t)$	[kg/m ³]	a gázsűrűség;
s_i	[J/(kgK)]	fajlagos entrópia;
t	[s]	idő;
τ_i	[N/m ²]	a csőfalon ébredő csúsztatófeszültség;
$T_i(x_i, t)$	[K]	gázhőmérséklet;
$T_R(x_i, t)$	[K]	a regenerátorhőmérséklet;
$v_i(x_i, t)$	[m/s]	áramlási sebesség;
x_i	[m]	a középvonalon mért helykoordináta.



1. ábra. Elemi csőszakasz és jellemző mennyiségei

A Stirling gép részegységének jelölésére az i indexet
alkalmaztuk. Az i -edik részegységben a gázáramlás
három egyenlettel írható le [3]. Ezek a következők:
mozgásegyenlet:

$$\frac{\partial v_i}{\partial t} + v_i \frac{\partial v_i}{\partial x_i} + \frac{1}{\rho_i} \frac{\partial p_i}{\partial x_i} + \frac{\lambda_i v_i |v_i|}{2D_i} = 0, \quad (1)$$

kontinuitási egyenlet:

$$\frac{1}{\rho_i a_i^2} \left[\frac{\partial p_i}{\partial t} + v_i \frac{\partial p_i}{\partial x_i} \right] + \frac{\partial v_i}{\partial x_i} + v_i \frac{\partial (\ln(A_i))}{\partial x_i} = 0 \quad (2)$$

és energiaegyenlet:

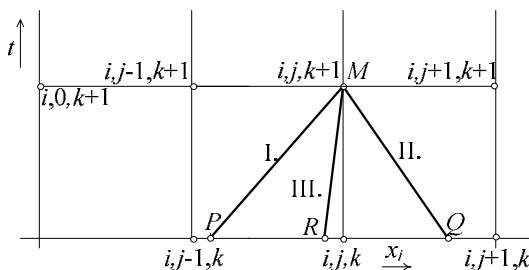
$$\frac{ds_i}{dt} = \left[\frac{\partial s_i}{\partial t} + v_i \frac{\partial s_i}{\partial x_i} \right] = \frac{\lambda_i}{2D_i T_i} v_i^2 |v_i| + \frac{4}{D_i \rho_i T_i} k_i (T_i - T_{ai}) \quad (3)$$

Az (1)-(3) egyenletrendszer a karakterisztikák módszerével oldottuk meg.

3. A KARAKTERISZTIKÁK MÓDSZERE

3.1. A csövekben és hengerekben kialakuló instacionárius áramlás számítása

A munkahengerhez és az összekötő csövezetékhez egy-egy x_i, t síkot rendeltünk, ahol ($i=1,2,3$). A három x_i, t síkot változó Δx_i és állandó Δt osztásközű rácshálózattal látjuk el. Az egyes szakaszokat i index jelöli, a szakaszokban lévő számítási pontok száma N_i . A számítási pontok (rácspontok) mindegyikét egy i, j, k indexháromas határozza meg, ahol i csőszakaszt, j helyet, k pedig időpillanatot jelöl.



2. ábra. Az egyes gépegységekhez rendelt koordináta-rendszer és a rácspontok

A k -edik rácspontban lévő mennyiségek ismeretében először lineáris interpolációval megkerestük azon P, Q és R pontokat, amelyekből kiinduló karakterisztikák az $(i, j, k+1)$ pontban találkoznak, majd a karakterisztika egyenletek lineáris approximációval történt integrálása után kiszámítottuk a $v_{i, j, k+1}, p_{i, j, k+1}$ és $s_{i, j, k+1}$ értékét.

Az M pontban $(i, j, k+1)$ az állapotjelzők a karakterisztika egyenletekből kiszámíthatók:

$$v_{i, j, k+1} = \frac{B_{P_i} \rho_P a_P + B_{Q_i} \rho_Q a_Q}{\rho_Q a_Q + \rho_P a_P} \quad (4)$$

$$p_{i, j, k+1} = (B_{P_i} - B_{Q_i}) \left(\frac{1}{\rho_P a_P} + \frac{1}{\rho_Q a_Q} \right)^{-1} \quad (5)$$

$$s_{i, j, k+1} = B_{R_i} \quad (6)$$

$$B_{P_i} = v_P + \frac{p_P}{\rho_P a_P} - \lambda_i \frac{v_P |v_P|}{2D_i} \Delta t \quad (7)$$

$$B_{Q_i} = v_Q - \frac{p_Q}{\rho_Q a_Q} - \lambda_i \frac{v_Q |v_Q|}{2D_i} \Delta t \quad (8)$$

$$B_{R_i} = s_R + \frac{\lambda}{2DT_R} v^2 |v| - \frac{4}{D \rho_R T_R} k (T_R - T_{k0}) \quad (9)$$

A $k+1$ rácspontbeli hőmérséklet, sűrűség és hangsebesség a következő képletekkel számítható ki:

$$T_{i, j, k+1} = T_R e^{\frac{s_{i, j, k+1} - s_R}{c_p} \left(\frac{p_{i, j, k+1}}{p_R} \right)^{\frac{\kappa-1}{\kappa}}} \quad (10)$$

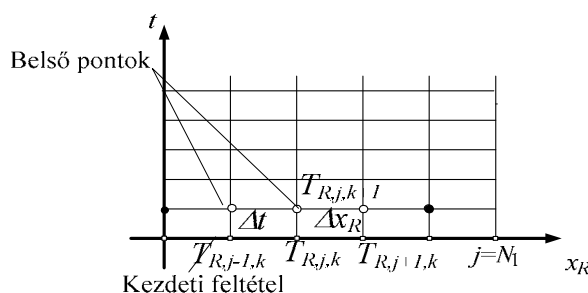
$$\rho_{i, j, k+1} = \frac{p_{i, j, k+1}}{RT_{i, j, k+1}} \quad (11)$$

$$a_{i, j, k+1} = \sqrt{\kappa RT_{i, j, k+1}} \quad (12)$$

Így egy tetszőleges (pl. kezdőfeltételként ismert) k -adik sor értékeiből a $(k+1)$ -edik sor rácspontjaiban a $v_{i, j, k+1}, p_{i, j, k+1}$ és $s_{i, j, k+1}$ értékháromasok sorra kiszámíthatóak, kivéve az egyes csőszakaszok kezdő- és végpontjait ($j \neq 1, j \neq N_i$), amelyekben a csatlakozási ill. peremfeltételeknek kell teljesülni. A számítás akkor konvergens, ha valamennyi részegységre teljesül a Courant - Friedrichs - Lewy féle stabilitási és konvergencia feltéte:

$$T_i = \frac{\Delta t}{\Delta x_i} < \frac{1}{v_{max} + a_i} \quad (13)$$

3.2. A regenerátorban kialakuló tranziens folyamatok számítása



3. ábra. A szilárd regenerátorresthez rendelt koordináta-rendszer és a rácspontok

A Stirling gépek regenerátora porózus testként modellezhető, ahol a nyitott pórusokban áramló munkagáz fűti vagy hűti regenerátort. A munkagáz modellezése a 3.1. fejezetben leírtak szerint történik, az alkalmazott modellet a 3. ábra mutatja be. A szilárd regenerátorrest hőmértéke a középvonalával egybeesően felvett x_R ko-

ordináta-rendszerben az egydimenziós Fourier-egyenlettel írható le:

$$c_R \rho_R \frac{\partial T_R}{\partial t} = \lambda_R \frac{\partial^2 T_R}{\partial x_i^2} + \frac{\alpha_R K_R}{A_R} (T_i - T_R). \quad (14)$$

A (14) egyenletet az explicit numerikus eljárás szerint diszkrétizálva és felhasználva a 3. ábra jelöléseit $T_{R,i,j,k+1}$ rácsponti hőmérséklet a k -adik időpontbeli rácsponti hőmérsékletekből kiszámítható:

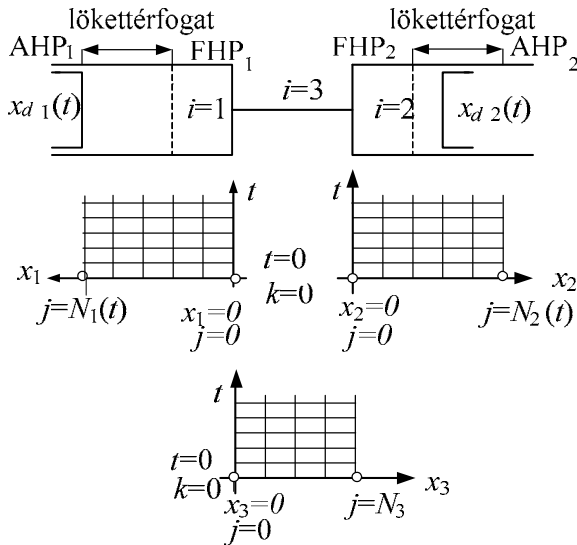
$$T_{R,i,j,k+1} = T_{R,i,j,k} \left[1 - \frac{2\Delta t \lambda_R}{c_R \rho_R \Delta x_R^2} \right] + \frac{\Delta t}{c_R \rho_R} \cdot \left[\lambda_R \frac{T_{R,i,j+1,k} + T_{R,i,j-1,k}}{\Delta x_R^2} + \frac{\alpha_R K_R}{A_R} (T_{i,j,k} - T_{R,i,j,k}) \right]. \quad (15)$$

A (15) képlet valamennyi belső rácspont hőmérsékletének kiszámítására alkalmas. Ha a regenerátor két végén a hőcserét elhanyagoljuk, akkor

$$T_{R,i,0,k+1} = T_{R,i,1,k+1} \text{ és } T_{R,i,N_R,k+1} = T_{R,i,N_R-1,k+1}.$$

4. PEREMFELTÉTELEK

A 4. ábrán az egyes géprészekhez rendelt koordináta-rendszerek láthatók.

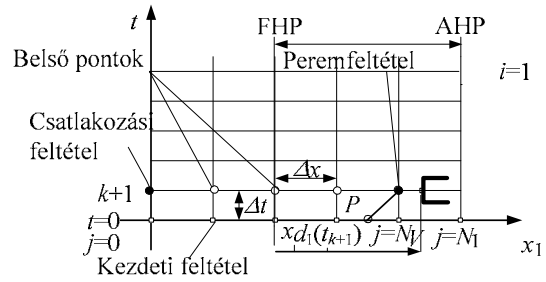


4. ábra. A gépegyesekhez kapcsolt koordináta-rendszerek

A vízszintes tengelyeken az x_i helykoordinátákat, a függőleges tengelyeken a t időt ábrázoltuk. A peremfeltételek egyszerű megadhatósága érdekében a Δt időlépés értéke minden koordináta rendszerben azonos értékű. A Δx_i rácsoztás viszont koordináta-rendszerenként változhat.

4.1. 1. henger dugattyújának peremfeltétele

Az $i=1$. hengerhez rendelt rácshálózat a 5. ábrán látható.



5. ábra. Az 1. hengerhez rendelt rácshálózat

A $t=0$ ($k=0$) időpillanatban a dugattyú a felső holtpontban van. A rácspontok száma ekkor a legkevesebb, de $N_{1min} \geq 2$. A ($j=0 \dots N_1(t), k=0$) rácspontban a kezdeti feltételből $p_{i,j,k}$, $s_{i,j,k}$ és $v_{i,j,k}$ értéke ismert. Δt idő alatt a dugattyú $x_{d1}(t_{k+1})$ utat tesz meg. A t_{k+1} időpillanatban a belső pontokban az (4-13) egyenletekből meghatározható $p_{i,j,k+1}$, $s_{i,j,k+1}$ és $v_{i,j,k+1}$ értéke. A dugattyú a két holtpont között a mozgástörvényei által meghatározott helyen tartózkodik. A dugattyú $x_{d1}(t)$ mozgástörvénye, ezáltal sebessége és gyorsulása is ismert. Behelyettesítve $t=t_{k+1}$ értékét a dugattyú $k+1$ időpillanatbeli helyzete, sebessége és gyorsulása meghatározható:

$$x_{d1,k+1} = x_{d1}(t_{k+1}), \quad (16)$$

$$v_{d1,k+1} = v_{d1}(t_{k+1}), \quad (17)$$

$$a_{d1,k+1} = a_{d1}(t_{k+1}). \quad (18)$$

A $j=N_V$ pontban a $v_{1,N_V,k+1}$ sebesség lineáris interpolációval határozható meg:

$$v_{1,N_V,k+1} = v_{1,N_V-1,k+1} + \Delta x_1 \frac{v_{d1,k+1} - v_{1,N_V-1,k+1}}{\Delta x_1 + s_{V,k+1}}, \quad (19)$$

ahol:

$$N_V = \text{int} \left(\frac{x_{d1,k+1}}{\Delta x_1} \right), \quad (20)$$

$$s_{V,k+1} = x_{d1,k+1} - N_V \cdot \Delta x_1. \quad (21)$$

A sebesség ismeretében a nyomás a P pontból a ($1, N_V, k+1$) pontba befutó

$$v_{1,N_V,k+1} + \frac{1}{\rho_P a_P} p_{1,N_V,k+1} = B_P \quad (22)$$

karakterisztika egyenletből meghatározható:

$$p_{1,N_V,k+1} = (B_Q - v_{1,N_V,k+1}) \rho_P a_P. \quad (23)$$

A ($1, N_V, k+1$) rácspontban az entrópia a III. karakterisztika egyenletből számítható ki:

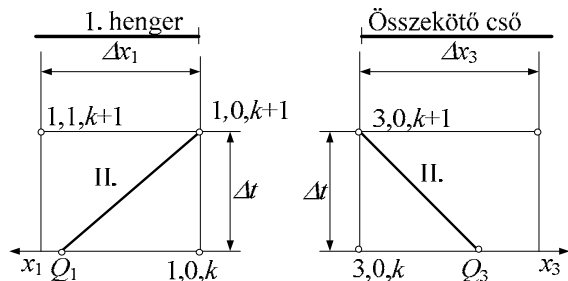
$$s_{i,j,k+1} = B_{R_i}. \quad (24)$$

Végül (10)-(12)-ből meghatározhatjuk a hőmérséklet, a hangsebesség és a sűrűség értékét.

A 2. munkahenger dugattyújánál lévő peremfeltétel számítása az előzőekben leírtakkal azonos módon történik, csak az első (i) indexet kell 1-ről 2-re módosítani.

4.2. A hengerek illeszkedése az összekötő csőhöz

A peremfeltétel vázlata az 6. ábrán látható.



6. ábra. Az 1. henger és az összekötő cső kapcsolata

A csatlakozási helyen hat ismeretlen értékét kell kiszámítani: $p_{1,0,k+1}$, $\rho_{1,0,k+1}$, $v_{1,0,k+1}$, $p_{3,0,k+1}$, $\rho_{3,0,k+1}$, $v_{3,0,k+1}$, amelyek meghatározására hat egyenlet szükséges. Ezek a következők:

$$v_{1,0,k+1} - \frac{l}{\rho_{Q_1} a_{Q_1}} p_{1,0,k+1} = B_{Q_1}, \quad (25)$$

$$v_{3,0,k+1} - \frac{l}{\rho_{Q_3} a_{Q_3}} p_{3,0,k+1} = B_{Q_3}, \quad (26)$$

$$\frac{p_{3,0,k+1}}{a_R} - p_{3,0,k+1} = B_{R_3}, \quad (27)$$

$$v_{1,0,k+1} A_1 \rho_{1,0,k+1} = -v_{3,0,k+1} A_3 \rho_{3,0,k+1}, \quad (28)$$

$$p_{1,0,k+1} = p_{3,0,k+1}, \quad (29)$$

$$\rho_{1,0,k+1} = \rho_{3,0,k+1}. \quad (30)$$

A hat egyenletből a hat ismeretlen kiszámítható:

$$v_{1,0,k+1} = \frac{B_{Q_1} a_{Q_1} \rho_{Q_1} - B_{Q_3} a_{Q_3} \rho_{Q_3}}{\rho_{Q_1} a_{Q_1} + \frac{A_1}{A_3} \rho_{Q_3} a_{Q_3}}, \quad (31)$$

$$v_{3,0,k+1} = \frac{v_{1,0,k+1} A_1 \rho_{1,0,k+1}}{A_3 \rho_{3,0,k+1}}, \quad (32)$$

$$p_{1,0,k+1} = (v_{1,0,k+1} - B_{Q_1}) a_{Q_1} \rho_{Q_1}, \quad (33)$$

$$p_{3,0,k+1} = (v_{3,0,k+1} - B_{Q_3}) a_{Q_3} \rho_{Q_3}, \quad (34)$$

$$p_{1,0,k+1} = p_{3,0,k+1}, \quad (35)$$

$$s_{3,0,k+1} = B_{R_3}. \quad (36)$$

Hasonlóan eljárva a 2. henger és az összekötő cső között a peremfeltétel a következő egyenletekkel írható le:

$$v_{3,N_3,k+1} = \frac{B_{P_3} a_{P_3} \rho_{P_3} + B_{Q_2} a_{Q_2} \rho_{Q_2}}{\rho_{P_3} a_{P_3} + \frac{A_3}{A_2} \rho_{Q_2} a_{Q_2}}, \quad (37)$$

$$v_{2,0,k+1} = \frac{v_{3,N_3,k+1} A_3 \rho_{3,N_3,k+1}}{A_2 \rho_{2,0,k+1}}, \quad (38)$$

$$p_{3,N_3,k+1} = p_{2,0,k+1} = \left(B_{P_3} - \frac{B_{P_3} \cdot a_{P_3} + B_{Q_2} \cdot a_{Q_2}}{\rho_{P_3} a_{P_3} + \frac{\rho_{Q_2} A_2 a_{Q_2}}{A_3}} \right) a_{P_3} \rho_{P_3}, \quad (39)$$

$$s_{2,0,k+1} = s_{3,N_3,k+1} = B_{R_3}. \quad (40)$$

5. ÖSSZEFOGLALÁS

A cikkben a Stirling gépekben lejátszódó instacionárius hőátviteli és áramlási folyamatok egydimenziós instacionárius számítási modelljét mutattuk be. Felírtuk a folyamatokat leíró differenciálegyenleteket, a kezdeti és peremfeltételeket, amelyeket a munkagáznál a karakterisztikák módszerével, a regenerátortestnél az explicit rácsmódszerrel numerikusan oldottunk meg.

6. KÖSZÖNETNYILVÁNÍTÁS

"A tanulmány a TÁMOP-4.2.1.B-10/2/KONV-2010-0001 jelű projekt részeként – az Új Magyarország Fejlesztési Terv keretében – az Európai Unió támogatásával, az Európai Szociális Alap társfinanszírozásával valósul meg".

7. IRODALOM

- [1] HANDKI A., TOLVAJ B.: Numerical simulation of thermodynamic processes in the workspace of a stirling heat pump, *Proc. CMFF 2012.*, pp.384-391. 2012.
- [2] HANDKI, A., TOLVAJ, B.: Investigation of the processes in a Stirling machine with the method of characteristics, *Proc. Micro Cad 2012.*
- [3] SEIFERT, H.: Instationäre Strömungsvorgänge in Rohrleitungen an Verbrennungskraftmaschinen, Springer-Verlag. 1962.